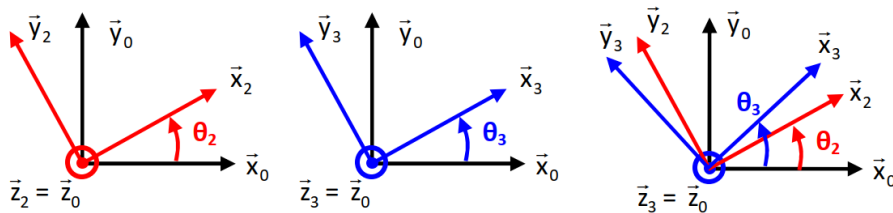


DS2

Statique – Cinématique

Palettiseur pour l'industrie laitière - Corrigé

Q.1.



Q.2. $\overrightarrow{OO} = \overrightarrow{OA} + \overrightarrow{AB} + \overrightarrow{BO} = \vec{0} \rightarrow L_1 \vec{x}_0 + \mu \vec{x}_3 - R \vec{x}_2 = \vec{0}$

$$\rightarrow L_1 \cos \theta_3 \vec{x}_3 - L_1 \sin \theta_3 \vec{y}_3 + \mu \vec{x}_3 - R \cos(\theta_3 - \theta_2) \vec{x}_3 + R \sin(\theta_3 - \theta_2) \vec{y}_3 = \vec{0}$$

En projection dans la base 3 $\begin{cases} L_1 \cos \theta_3 + \mu - R \cos(\theta_3 - \theta_2) = 0 \\ -L_1 \sin \theta_3 + R \sin(\theta_3 - \theta_2) = 0 \end{cases}$

Q1bis : paramètres variables : $\theta_2, \theta_3, \beta, \lambda, \mu$ et y
les autres sont constants : R, L, L_1

Q.3. $\overrightarrow{HH} = \overrightarrow{HA} + \overrightarrow{AC} + \overrightarrow{CH} = \vec{0} \rightarrow L \vec{x}_0 + \lambda \vec{x}_3 + y \vec{y}_0 = \vec{0}$

$$\rightarrow L \cos \theta_3 \vec{x}_3 - L \sin \theta_3 \vec{y}_3 + \lambda \vec{x}_3 + y \sin \theta_3 \vec{x}_3 + y \cos \theta_3 \vec{y}_3 = \vec{0}$$

En projection dans la base 3 $\begin{cases} L \cos \theta_3 + \lambda + y \sin \theta_3 = 0 \\ -L \sin \theta_3 + y \cos \theta_3 = 0 \end{cases}$

Q.4. On réécrit les équations des fermetures géométriques précédentes mais cette fois ci en projection sur la base 0.

En projection dans la base 0 $\begin{cases} L_1 + \mu \cos \theta_3 - R \cos \theta_2 = 0 \\ \mu \sin \theta_3 - R \sin \theta_2 = 0 \end{cases} \rightarrow \begin{cases} \cos \theta_3 = \frac{R \cos \theta_2 - L_1}{\mu} \\ \sin \theta_3 = \frac{R \sin \theta_2}{\mu} \end{cases} \rightarrow \tan \theta_3 = \frac{R \sin \theta_2}{R \cos \theta_2 - L_1}$

En projection dans la base 0 $\begin{cases} L + \lambda \cos \theta_3 = 0 \\ \lambda \sin \theta_3 + y = 0 \end{cases} \rightarrow \begin{cases} \cos \theta_3 = -\frac{L}{\lambda} \\ \sin \theta_3 = -\frac{y}{\lambda} \end{cases} \rightarrow \tan \theta_3 = \frac{y}{L}$

Soit $\frac{y}{L} = \frac{R \sin \theta_2}{R \cos \theta_2 - L_1} \rightarrow y = L \frac{R \sin \theta_2}{R \cos \theta_2 - L_1}$

Q.5. Graphiquement on voit que les positions extrêmes haute et basse sont obtenues lorsque \vec{x}_3 est perpendiculaire à \vec{x}_2 . On peut retrouver ce résultat en recherchant l'extremum de la fonction y ce qui revient

chercher $\theta_{2,\max}$ tel que $\frac{dy}{d\theta_2} = 0$

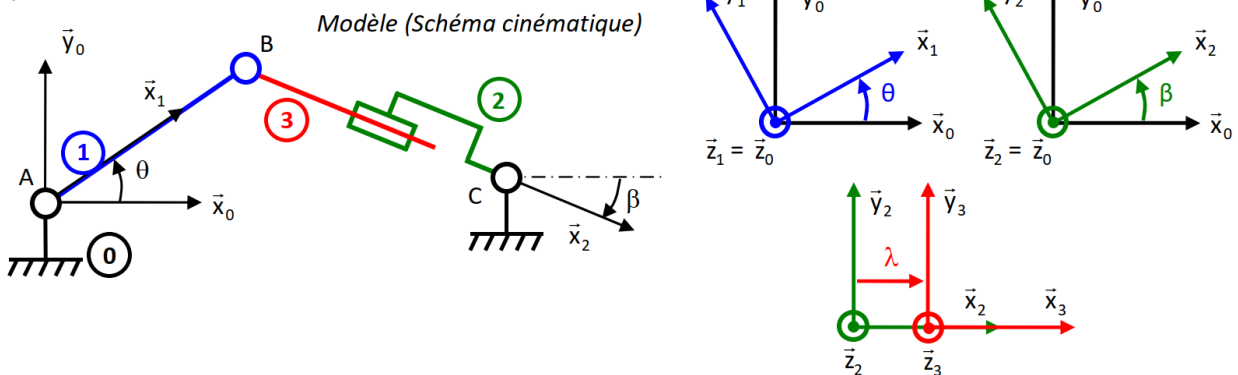
$$\rightarrow \frac{dy}{d\theta_2} = L \frac{R \cos \theta_2 \cdot (R \cos \theta_2 - L_1) - R \sin \theta_2 \cdot (-R \sin \theta_2)}{(R \cos \theta_2 - L_1)^2} \rightarrow R \cos^2 \theta_2 - L_1 \cos \theta_2 + R \sin^2 \theta_2 = 0 \text{ soit } L_1 \cos \theta_2 = R$$

$$\rightarrow \theta_{2,\max} = \arccos \frac{R}{L_1} \rightarrow \theta_{2,\max} \approx \pm 53,1^\circ. \text{ Le débattement est } \Delta y = 2L \frac{R \sin \theta_{2,\max}}{R \cos \theta_{2,\max} - L_1}$$

Q.6. $\Delta y = 2L \frac{R \sin \theta_{2,\max}}{R \cos \theta_{2,\max} - L_1} = 2 \times 0,5 \times \frac{0,15 \sin 53,1}{0,15 \cos 53,1 - 0,25} = 0,75 \text{ m soit } 75 \text{ cm} \rightarrow \text{CdCF ok.}$

Benne de camion - Corrigé

Q.1.



Q.2. $Q = V.S$ avec S surface du piston telle que $S = \pi \cdot \frac{d^2}{4}$ (d : diamètre du piston)

Q.3. $\vec{AA} = \vec{AB} + \vec{BC} + \vec{CA} = \vec{0} \rightarrow L\vec{x}_1 + \lambda\vec{x}_2 - x_c\vec{x}_0 - y_c\vec{y}_0 = \vec{0}$

En projection dans la base 0 $\begin{cases} L \cdot \cos\theta + \lambda \cdot \cos\beta - x_c = 0 \\ L \cdot \sin\theta + \lambda \cdot \sin\beta - y_c = 0 \end{cases}$

Q2bis : paramètres variables : θ, β, λ , les autres sont constants

Q.4. $\begin{cases} L \cdot \cos\theta + \lambda \cdot \cos\beta - x_c = 0 \\ L \cdot \sin\theta + \lambda \cdot \sin\beta - y_c = 0 \end{cases} \rightarrow \begin{cases} \cos\beta = \frac{x_c - L \cdot \cos\theta}{\lambda} \\ \sin\beta = \frac{y_c - L \cdot \sin\theta}{\lambda} \end{cases}$

$$\rightarrow \left(\frac{x_c - L \cdot \cos\theta}{\lambda} \right)^2 + \left(\frac{y_c - L \cdot \sin\theta}{\lambda} \right)^2 = 1 \rightarrow \lambda = \sqrt{(x_c - L \cdot \cos\theta)^2 + (y_c - L \cdot \sin\theta)^2}$$

Q.5. $\lambda = \sqrt{x_c^2 + y_c^2 + L^2 - 2 \cdot L \cdot (x_c \cdot \cos\theta + y_c \cdot \sin\theta)} \rightarrow \dot{\lambda} = \frac{-\frac{1}{2} 2 \cdot L \cdot (-x_c \cdot \dot{\theta} \cdot \sin\theta + y_c \cdot \dot{\theta} \cdot \cos\theta)}{\sqrt{x_c^2 + y_c^2 + L^2 - 2 \cdot L \cdot (x_c \cdot \cos\theta + y_c \cdot \sin\theta)}}$

On a $\dot{\lambda} = V \rightarrow Q = S \cdot \frac{-L \cdot (-x_c \cdot \dot{\theta} \cdot \sin\theta + y_c \cdot \dot{\theta} \cdot \cos\theta)}{\sqrt{x_c^2 + y_c^2 + L^2 - 2 \cdot L \cdot (x_c \cdot \cos\theta + y_c \cdot \sin\theta)}}$

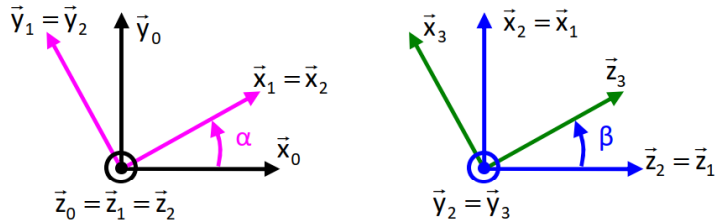
Q.6. $\dot{\theta}_{\max} = 70 \cdot Q$ et $Q = 0,4 \text{ L/s} \rightarrow Q = 0,4 \cdot 10^{-3} \text{ m}^3/\text{s}$

$$\rightarrow \dot{\theta}_{\max} = 70 \times 0,4 \cdot 10^{-3} = 0,028 \text{ rad/s} \rightarrow \dot{\theta}_{\max} = 0,27 \text{ tr/min} < 0,5 \text{ tr/min} \rightarrow \text{C.d.C.F. ok.}$$

Manège de fête foraine : « La chenille » améliorée - Corrigé

Q.1. $(S2)/(S1)$ = translation d'axe \vec{z}_0 : les bases b_1 et b_2 sont les mêmes.

Q.2.



$$\mathbf{Q.3.} \quad \overrightarrow{V_{G,3/0}} = \overrightarrow{V_{G,3/0}} = \frac{d}{dt} \overrightarrow{OG} \Big|_0 = \frac{d}{dt} \left. \lambda(t) \cdot \vec{z}_0 + a \cdot \vec{x}_1 + b \cdot \vec{x}_1 + l \cdot \vec{x}_3 \right|_0 = \dot{\lambda}(t) \cdot \vec{z}_0 + (a+b) \cdot \dot{\alpha} \cdot \vec{y}_1 + l \cdot \frac{d}{dt} \vec{x}_3 \Big|_0$$

$$\text{Avec } \frac{d}{dt} \vec{x}_3 \Big|_0 = \frac{d}{dt} \vec{x}_3 \Big|_3 + \overrightarrow{\Omega_{3/0}} \wedge \vec{x}_3 = (\dot{\alpha} \cdot \vec{z}_2 + \dot{\beta} \cdot \vec{y}_3) \wedge \vec{x}_3 = \dot{\alpha} \cdot \cos \beta \cdot \vec{y}_2 - \dot{\beta} \cdot \vec{z}_3 = \dot{\alpha} \cdot \cos \beta \cdot \vec{y}_1 - \dot{\beta} \cdot \vec{z}_3$$

$$\rightarrow \boxed{\overrightarrow{V_{G,3/0}} = \dot{\lambda}(t) \cdot \vec{z}_0 + (a+b+l \cdot \cos \beta) \cdot \dot{\alpha} \cdot \vec{y}_1 - l \cdot \dot{\beta} \cdot \vec{z}_3}$$

$$\mathbf{Q.4.} \quad \overrightarrow{F_{\text{passager} \rightarrow \text{nacelle}}} \cdot \vec{x}_3 = -m \cdot (\overrightarrow{\Gamma_{G,3/0}} + g \cdot \vec{z}_0) \cdot \vec{x}_3 = -m \cdot \overrightarrow{\Gamma_{G,3/0}} \cdot \vec{x}_3 + m \cdot g \cdot \vec{z}_0 \cdot \vec{x}_3$$

$$\overrightarrow{\Gamma_{G,3/0}} = \overrightarrow{\Gamma_{G,3/0}} = \frac{d}{dt} \left. \lambda(t) \cdot \vec{z}_0 + (a+b+l \cdot \cos \beta) \cdot \dot{\alpha} \cdot \vec{y}_1 - l \cdot \dot{\beta} \cdot \vec{z}_3 \right|_0$$

$$\overrightarrow{\Gamma_{G,3/0}} = \ddot{\lambda}(t) \cdot \vec{z}_0 + (a+b+l \cdot \cos \beta) \cdot \ddot{\alpha} \cdot \vec{y}_1 - (a+b+l \cdot \cos \beta) \cdot \dot{\alpha}^2 \cdot \vec{x}_1 - l \cdot \dot{\alpha} \cdot \dot{\beta} \cdot \sin \beta \cdot \vec{y}_3 - l \cdot \dot{\beta} \cdot \vec{z}_3 - l \cdot \dot{\beta} \cdot \frac{d \vec{z}_3}{dt} \Big|_0$$

$$\text{Avec } \frac{d}{dt} \vec{z}_3 \Big|_0 = \frac{d}{dt} \vec{z}_3 \Big|_3 + \overrightarrow{\Omega_{3/0}} \wedge \vec{z}_3 = (\dot{\alpha} \cdot \vec{z}_2 + \dot{\beta} \cdot \vec{y}_3) \wedge \vec{z}_3 = \dot{\alpha} \cdot \sin \beta \cdot \vec{y}_2 + \dot{\beta} \cdot \vec{x}_3$$

$$\begin{aligned} \overrightarrow{\Gamma_{G,3/0}} &= \ddot{\lambda}(t) \cdot \vec{z}_0 + (a+b+l \cdot \cos \beta) \cdot \ddot{\alpha} \cdot \vec{y}_1 - (a+b+l \cdot \cos \beta) \cdot \dot{\alpha}^2 \cdot \vec{x}_1 - l \cdot \dot{\alpha} \cdot \dot{\beta} \cdot \sin \beta \cdot \vec{y}_3 - l \cdot \dot{\beta} \cdot \vec{z}_3 - l \cdot \dot{\beta}^2 \cdot \vec{x}_3 - l \cdot \dot{\beta} \cdot \dot{\alpha} \cdot \sin \beta \cdot \vec{y}_2 \\ \overrightarrow{\Gamma_{G,3/0}} &= \ddot{\lambda}(t) \cdot \vec{z}_0 + (a+b+l \cdot \cos \beta) \cdot \ddot{\alpha} \cdot \vec{y}_1 - (a+b+l \cdot \cos \beta) \cdot \dot{\alpha}^2 \cdot \vec{x}_1 - 2 \cdot l \cdot \dot{\alpha} \cdot \dot{\beta} \cdot \sin \beta \cdot \vec{y}_3 - l \cdot \ddot{\beta} \cdot \vec{z}_3 - l \cdot \dot{\beta}^2 \cdot \vec{x}_3 \end{aligned}$$

$$\text{On a ici } \vec{y}_1 = \vec{y}_2 = \vec{y}_3 \text{ avec } \vec{y}_3 \cdot \vec{x}_3 = 0 \rightarrow \overrightarrow{\Gamma_{G,3/0}} \cdot \vec{x}_3 = \ddot{\lambda}(t) \cdot \vec{z}_0 \cdot \vec{x}_3 - (a+b+l \cdot \cos \beta) \cdot \dot{\alpha}^2 \cdot \vec{x}_1 \cdot \vec{x}_3 - l \cdot \dot{\beta}^2 \cdot \vec{x}_3 \cdot \vec{x}_3$$

$$\overrightarrow{\Gamma_{G,3/0}} \cdot \vec{x}_3 = -\ddot{\lambda}(t) \cdot \sin \beta - (a+b+l \cdot \cos \beta) \cdot \dot{\alpha}^2 \cdot \cos \beta - l \cdot \dot{\beta}^2$$

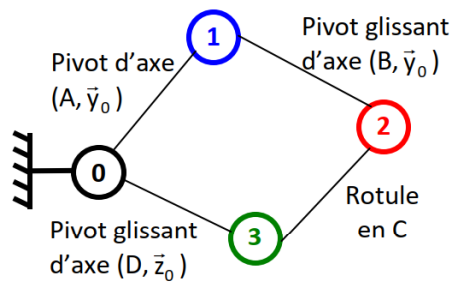
$$\boxed{\overrightarrow{F_{\text{passager} \rightarrow \text{nacelle}}} \cdot \vec{x}_3 = m \cdot (\ddot{\lambda}(t) \cdot \sin \beta + (a+b+l \cdot \cos \beta) \cdot \dot{\alpha}^2 \cdot \cos \beta + l \cdot \dot{\beta}^2) + m \cdot g \cdot \sin \beta}$$

$$\mathbf{Q.5.} \quad \beta = \text{cte} = \pi/2 \rightarrow \dot{\beta} = 0 \text{ et } \ddot{\lambda} = 1,6 \text{ m/s}^2 \rightarrow \overrightarrow{F_{\text{passager} \rightarrow \text{nacelle}}} \cdot \vec{x}_3 = m \cdot \ddot{\lambda} + m \cdot g .$$

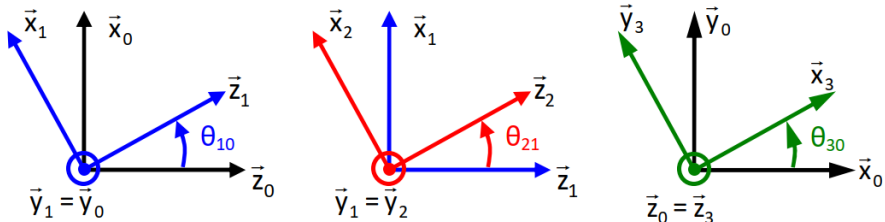
L'accélération ressentie est donc $\ddot{\lambda} + g = 1,6 + 9,8 = 10,4 \text{ m/s}^2 < 2 \cdot g$

Broyeur - Corrigé

Q.1. Graphe des liaisons du système :



Q.2. Figures géométriques :



Q0. $m=mu+mi$

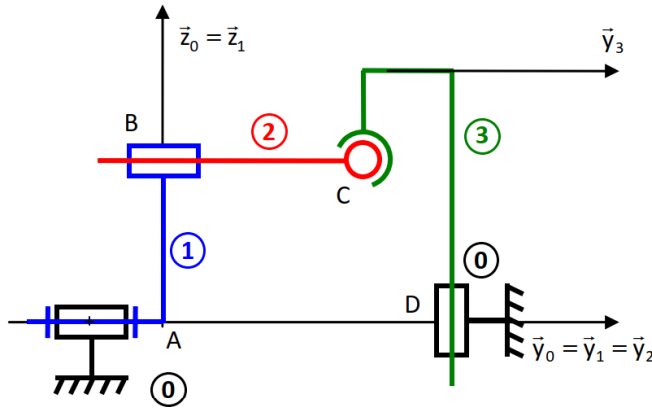
1 mobilités utiles, fonction principale du système, rotation de 1 impliquant rotation alternative et translation alternative de 3 .

1 mobilités internes, rotation de 2 autour de l'axe défini par la droite (BC)

$$h=m+6y-1c = 2+6-8=0$$

Q0bis : paramètres variables : $\theta_{21}, \theta_{30}, \theta_{10}, h, \lambda$, les autres sont constants (R, d et L)

Q.3. Pour la position particulière $\theta_{10} = 0^\circ$ et $\theta_{30} = 0^\circ$:



Q.4. Fermeture géométrique : $\vec{AA} = \vec{0} \rightarrow \vec{AB} + \vec{BC} + \vec{CE} + \vec{ED} + \vec{DA} = R\vec{z}_1 + \lambda(t)\vec{y}_1 - h(t)\vec{z}_0 + L\vec{y}_3 - d\vec{y}_1$

$$\text{En projection dans } R_0 : \begin{cases} R \sin \theta_{10} - L \sin \theta_{30} = 0 \\ \lambda(t) + L \cos \theta_{30} - d = 0 \\ R \cos \theta_{10} - h(t) = 0 \end{cases} \rightarrow \boxed{h(t) = R \cos \theta_{10}}$$

$$\rightarrow \begin{cases} L \cos \theta_{30} = d - \lambda(t) \\ L \sin \theta_{30} = R \sin \theta_{10} \end{cases} \rightarrow L^2 = (d - \lambda(t))^2 + R^2 \sin^2 \theta_{10} \rightarrow \boxed{\lambda(t) = d - \sqrt{L^2 - R^2 \sin^2 \theta_{10}}}$$

$$\rightarrow \begin{cases} L \sin \theta_{30} = R \sin \theta_{10} \\ L \cos \theta_{30} = d - \lambda(t) \end{cases} \rightarrow \tan \theta_{30} = \frac{R \sin \theta_{10}}{d - \lambda(t)} \rightarrow \boxed{\tan \theta_{30} = \frac{R \sin \theta_{10}}{d - \lambda(t)} = \frac{R \sin \theta_{10}}{\sqrt{L^2 - R^2 \sin^2 \theta_{10}}}}$$

Q.5. Liaison 0-1 : Pivot d'axe (A, \vec{y}_0)

$$\rightarrow \{F_{0 \rightarrow 1}\} = \begin{Bmatrix} X_{01} & L_{01} \\ Y_{01} & 0 \\ Z_{01} & N_{01} \end{Bmatrix}_{B_0}$$

$$Q.7. \text{ Liaison 3-2 : Rotule en C} \rightarrow \{F_{3 \rightarrow 2}\} = \begin{Bmatrix} X_{32} & 0 \\ Y_{32} & 0 \\ Z_{32} & 0 \end{Bmatrix}_{B_0}$$

Q.6. Liaison 2-1 : Pivot glissant d'axe (B, \vec{y}_0) \rightarrow

$$\{F_{2 \rightarrow 1}\} = \begin{Bmatrix} X_{21} & L_{21} \\ 0 & 0 \\ Z_{21} & N_{21} \end{Bmatrix}_{B_0}$$

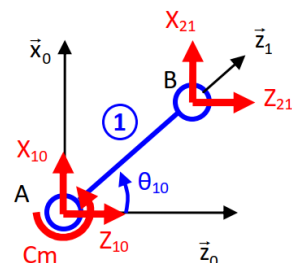
Q.9. On isole le solide 1 + BAME :

Q.8. Liaison 0-3 : Pivot glissant d'axe (D, \vec{z}_0)

$$\rightarrow \{F_{0 \rightarrow 3}\} = \begin{Bmatrix} X_{03} & L_{03} \\ Y_{03} & M_{03} \\ 0 & 0 \end{Bmatrix}_{B_0}$$

On applique le PFS sur le solide 1 :

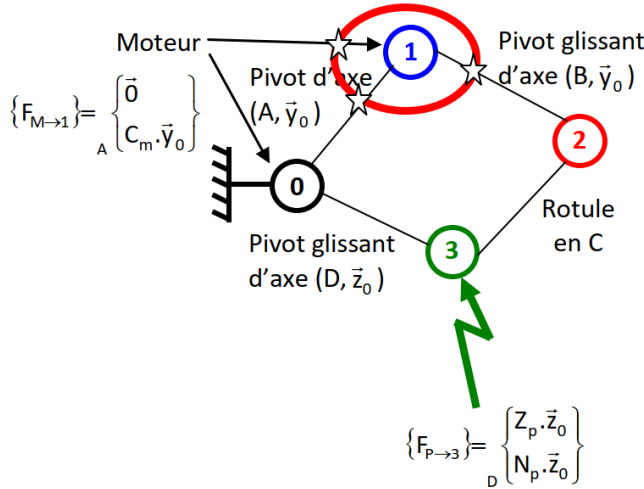
\rightarrow Théorème du moment statique au point A et en projection sur l'axe \vec{y}_0 :



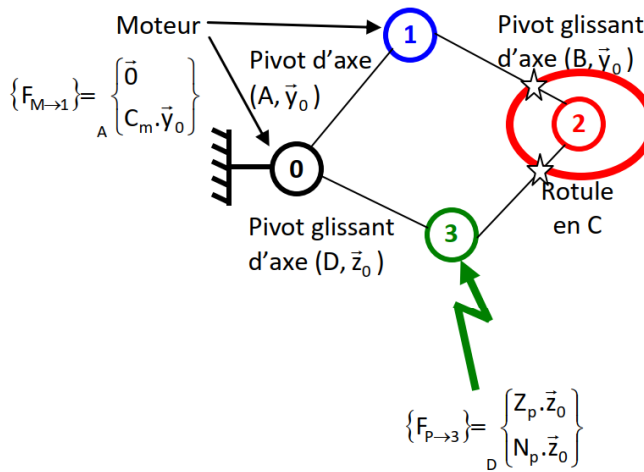
$$(\vec{AB} \wedge \vec{R}_{2 \rightarrow 1}) \cdot \vec{y}_0 + C_m = 0$$

$$(R \vec{z}_1 \wedge (X_{21} \vec{x}_0 + Z_{21} \vec{z}_0)) \cdot \vec{y}_0 + C_m = 0$$

$$\boxed{R X_{21} \cos \theta_{10} - R Z_{21} \sin \theta_{10} + C_m = 0}$$

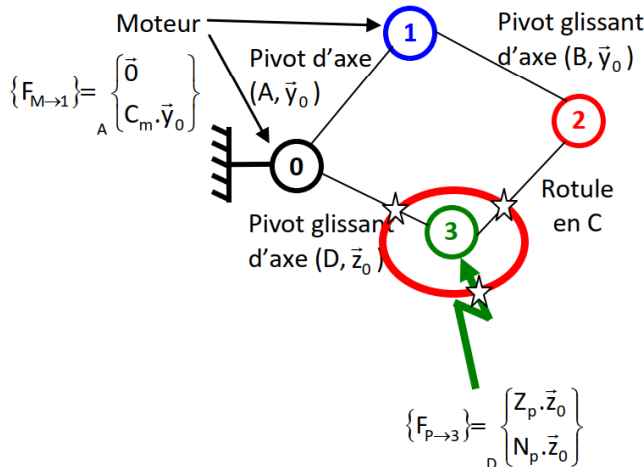


Q.10. On isole le solide 2 + BAME :



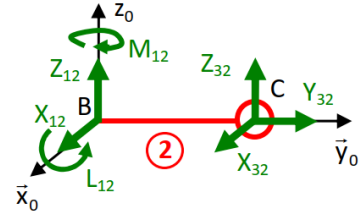
Attention le système est soumis à 2 actions mécaniques mais l'action mécanique du solide 2 sur le solide 2 n'est pas un glisseur !

Q.11. On isole le solide 3 + BAME :



On applique le PFS sur le solide 2 :

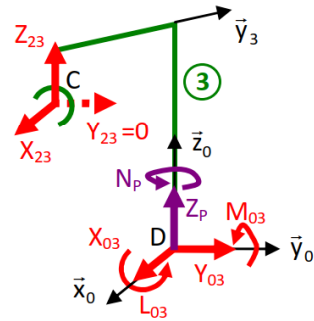
→ Théorème de la résultante statique :



En projection dans R_0 :
$$\begin{cases} X_{32} + X_{12} = 0 \\ Y_{32} = 0 \\ Z_{32} + Z_{12} = 0 \end{cases}$$

→ $Y_{32} = 0$

On applique le PFS sur le solide 3 :



→ Théorème de la résultante statique :

$$X_{03} \cdot \vec{x}_0 + Y_{03} \cdot \vec{y}_0 + Z_p \cdot \vec{z}_0 + X_{23} \cdot \vec{x}_0 + Z_{23} \cdot \vec{z}_0 = \vec{0}$$

→ Théorème du moment statique au point D :

$$\overrightarrow{DC} \wedge \overrightarrow{R_{2 \rightarrow 3}} + L_{03} \cdot \vec{x}_0 + M_{03} \cdot \vec{y}_0 + N_p \cdot \vec{z}_0 = \vec{0}$$

$$\rightarrow \text{Théorème de la résultante statique en projection dans } R_0 : \begin{cases} X_{03} + X_{23} = 0 \\ Y_{03} = 0 \\ Z_p + Z_{23} = 0 \end{cases}$$

\rightarrow Théorème du moment statique au point D :

$$\begin{aligned} \overrightarrow{DC} \wedge \overrightarrow{R_{2 \rightarrow 3}} &= (-L \cdot \vec{y}_3 + h(t) \cdot \vec{z}_0) \wedge (X_{23} \cdot \vec{x}_0 + Z_{23} \cdot \vec{z}_0) = -L \cdot \vec{y}_3 \wedge X_{23} \cdot \vec{x}_0 - L(t) \cdot \vec{y}_3 \wedge Z_{23} \cdot \vec{z}_0 + h(t) \cdot \vec{z}_0 \wedge X_{23} \cdot \vec{x}_0 \\ &= L \cdot X_{23} \cdot \cos \theta_{30} \cdot \vec{z}_0 - L \cdot Z_{23} \cdot \vec{x}_3 + h(t) \cdot X_{23} \cdot \vec{y}_0 \end{aligned}$$

$$\text{En projection dans } R_0 : \begin{cases} L_{03} - L \cdot Z_{23} \cdot \cos \theta_{30} = 0 \\ M_{03} - L \cdot Z_{23} \cdot \sin \theta_{30} + h(t) \cdot X_{23} = 0 \\ N_p + L \cdot X_{23} \cdot \cos \theta_{30} = 0 \end{cases}$$

$$\boxed{Z_p + Z_{23} = 0} \quad \boxed{L_{30} - L \cdot Z_{23} \cdot \cos \theta_{30} = 0} \quad \boxed{N_p + L \cdot X_{23} \cdot \cos \theta_{30} = 0}$$

Q.12. De la question 9, on a : $R \cdot X_{21} \cdot \cos \theta_{10} - R \cdot Z_{21} \cdot \sin \theta_{10} + C_m = 0$.

$$\text{De la question 10, on a : } \begin{cases} X_{32} = -X_{12} = X_{21} \\ Z_{32} = -Z_{12} = Z_{21} \end{cases}.$$

$$\text{De la question 11 on a : } -Z_p = Z_{23} \rightarrow Z_p = Z_{32} \text{ et } X_{23} = -\frac{N_p}{L \cdot \cos \theta_{30}} \rightarrow X_{32} = \frac{N_p}{L \cdot \cos \theta_{30}}$$

$$R \cdot \frac{N_p}{L \cdot \cos \theta_{30}} \cdot \cos \theta_{10} - R \cdot Z_p \cdot \sin \theta_{10} + C_m = 0 \rightarrow C_m = -R \cdot \frac{N_p}{L \cdot \cos \theta_{30}} \cdot \cos \theta_{10} + R \cdot Z_p \cdot \sin \theta_{10}$$

Q.13. En considérant que le couple de broyage nul, on a : $C_m = R \cdot Z_p \cdot \sin \theta_{10} \rightarrow \boxed{Z_{p,\text{mini}} = \frac{C_m}{R}}$

A.N. : $Z_{p,\text{max}} = \frac{0,16}{3 \cdot 10^{-2}} = 5,33 \text{ N} > 5 \text{ N} \rightarrow$ Le critère effort minimal du cahier des charges est respecté.

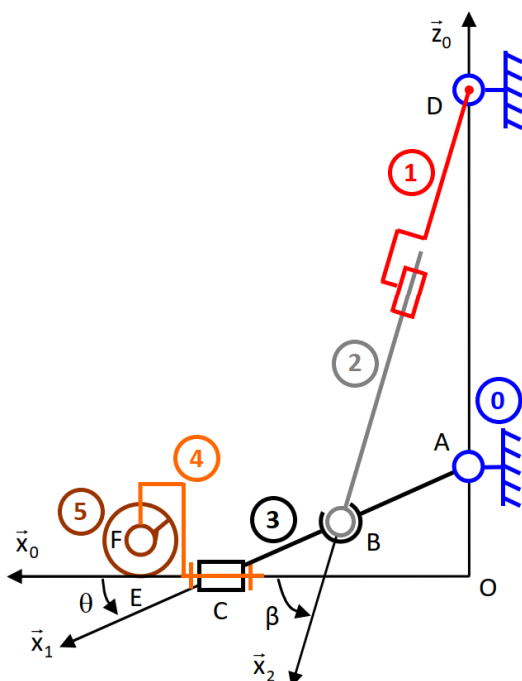
Etude du dispositif de mise en contact du rouleau de pression d'une machine à draper -
Corrigé

Q.1.

$$Q0. m = \mu u + \mu i$$

3 mobilités utiles : rotation rouleau 5, pivotement bras 4 et inclinaison bras 3 (loi E/S)
1 mobilité interne, rotation de 2 autour de l'axe défini par la droite (BD)

$$h = m + 6\gamma - l_c = 4 + 6 - 10 = 0$$



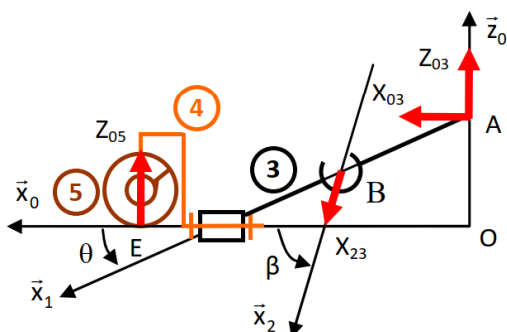
Q.2. On est dans le cas d'un problème plan :

$$\{F_{0 \rightarrow 1}\} = \begin{pmatrix} X_{01} & 0 \\ 0 & 0 \\ Z_{01} & 0 \end{pmatrix}_{(B2)} \quad \{F_{0 \rightarrow 3}\} = \begin{pmatrix} X_{03} & 0 \\ 0 & 0 \\ Z_{03} & 0 \end{pmatrix}_{(B0)} \quad \{F_{0 \rightarrow 5}\} = \begin{pmatrix} 0 & 0 \\ 0 & 0 \\ Z_{05} & 0 \end{pmatrix}_{(B0)} \quad \{F_{2 \rightarrow 3}\} = \begin{pmatrix} X_{23} & 0 \\ 0 & 0 \\ Z_{23} & 0 \end{pmatrix}_{(B2)}$$

Q.3. On isole {1+2}, on effectue le Bilan des Actions Mécaniques Extérieures (B.A.M.E.) et on applique le Principe Fondamental de la Statique (P.F.S.) au point B.

Le système est soumis à 2 actions mécaniques modélisées par des glisseurs, les résultantes de ces 2 glisseurs sont directement opposées et de norme égale $\rightarrow [Z_{01} = Z_{32} = 0]$

Q.4. On isole {3+4+5}, on effectue le B.A.M.E. et on applique le P.F.S. au point A.



$$X_{03} + X_{23} \cdot \cos \beta = 0 \quad (4)$$

$$Z_{03} + Z_{05} - X_{23} \cdot \sin \beta = 0 \quad (5)$$

$$-Z_{05} \cdot (L \cdot \cos \theta + a) + \left(\frac{L}{2} \cdot \vec{x}_1 \wedge X_{23} \cdot \vec{x}_2 \right) \cdot \vec{y}_0 = 0 \quad (6)$$

$$Q.5. (6) \rightarrow -Z_{05} \cdot (L \cdot \cos \theta + a) + \frac{L}{2} \cdot X_{23} \cdot \sin(\beta - \theta) = 0$$

$$Z_{05} \cdot (L \cdot \cos \theta + a) = X_{23} \cdot \frac{L}{2} \cdot \sin(\beta - \theta)$$

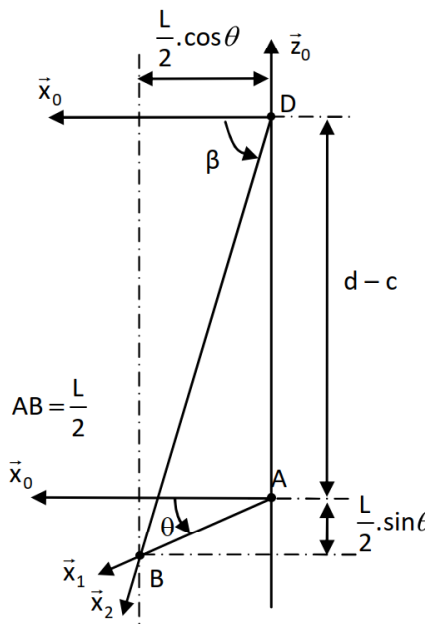
(7)

Z_{05} correspond à l'effort presseur $\rightarrow Z_{05} = F$ et X_{23} correspond à l'action de l'air sur 2

$$(7) \rightarrow \left\| \overrightarrow{F_{\text{air} \rightarrow 2}} \right\| = \frac{(a + L \cdot \cos \theta) \cdot F}{\frac{L}{2} \cdot \sin(\beta - \theta)}$$

(8)

Q.6.



Graphiquement on obtient :

$$\tan \beta = \frac{d - c + \frac{L}{2} \cdot \sin \theta}{\frac{L}{2} \cdot \cos \theta} \quad (9)$$

Remarque : On peut aussi utiliser la technique de la fermeture géométrique.

Q.7. A.N. :

$$(9) \rightarrow \beta = \arctan \left(\frac{675 - 150 + \frac{400}{2} \cdot \sin 22}{\frac{400}{2} \cdot \cos 22} \right) = 73^\circ$$

$$(8) \rightarrow \left\| \overrightarrow{F_{\text{air} \rightarrow 2}} \right\| = \frac{(35 + 400 \cdot \cos 22) \cdot 100}{\frac{400}{2} \cdot \sin(73 - 22)} = 260 \text{ N}$$

$$Q.8. p = \frac{F}{S} = \frac{260}{300} = 0,86 \text{ MPa} \rightarrow p = 8,6 \text{ Bars} < 10 \text{ Bars} \rightarrow \text{C.d.C.F. ok.}$$

$$Q.9. p_0 = \frac{Z_{54}}{d_0 \cdot L_0}$$

$$Q.10. \text{A.N. : } p_0 = \frac{Z_{54}}{d_0 \cdot L_0} = \frac{100}{16 \times 20} = 0,31 \text{ MPa} \ll 50 \text{ N/mm}^2 \rightarrow \text{La liaison est correctement dimensionnée.}$$